



Transformation Optics and Applications.

A. de Lustrac, P.-H. Tichit, S. N. Burokur, X. Wu.



Principes

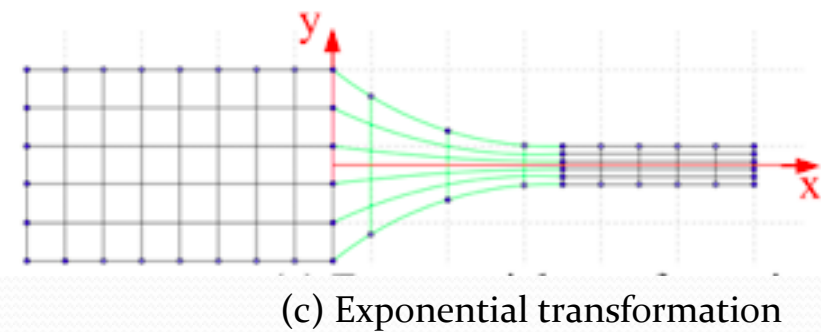
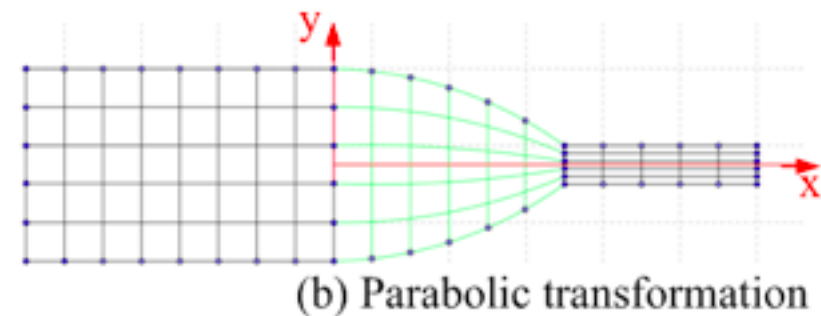
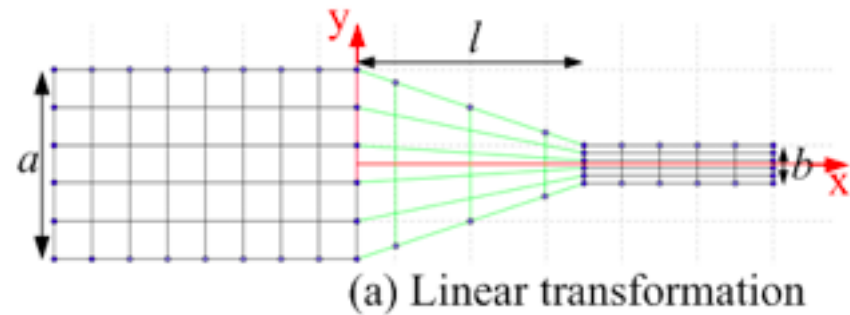
- On définit la relation analytique entre un espace de départ et un espace d'arrivée.
- $X'=f(x,y,z); Y'=g(x,y,z); Z'=h(x,y,z)$.
- À partir de cette relation analytique on calcule la matrice du Jacobien de la transformation.
- On en déduit les expressions des tenseurs de permittivité et de perméabilité.

$$\varepsilon^{i'j'} = \frac{J_i^{i'} J_j^{j'} \varepsilon_0 \delta^{ij}}{\det(J)} \quad \text{and} \quad \mu^{i'j'} = \frac{J_i^{i'} J_j^{j'} \mu_0 \delta^{ij}}{\det(J)} \quad \text{with} \quad J_{\alpha'}^{\alpha} = \frac{\partial x^{\alpha'}}{\partial x^{\alpha}}$$

- Problème: les valeurs sont souvent inexploitables.
- Solutions: on modifie la relation analytique.

Exemple: adaptateur de guide

- On veut relier deux guides de tailles différentes.
- 3 profils sont possibles: linéaire, parabolique, exponentiel.



Transformation

$$\begin{cases} x' = x \\ y' = y \left(\frac{b-a}{2l} x + \frac{a}{2} \right) \\ z' = z \end{cases}$$

linéaire

$$\begin{aligned} \bar{\varepsilon} &= \bar{\theta} \varepsilon_0 & \bar{\mu} &= \bar{\theta} \mu_0 & \frac{J^{i'} J^{j'} \delta^{ij}}{\det(J)} &= \theta^{i' j'} \end{aligned}$$

$$\begin{cases} x' = x \\ y' = y \left(\frac{b-a}{2l^2} x^2 + \frac{a}{2} \right) \\ z' = z \end{cases}$$

parabolique

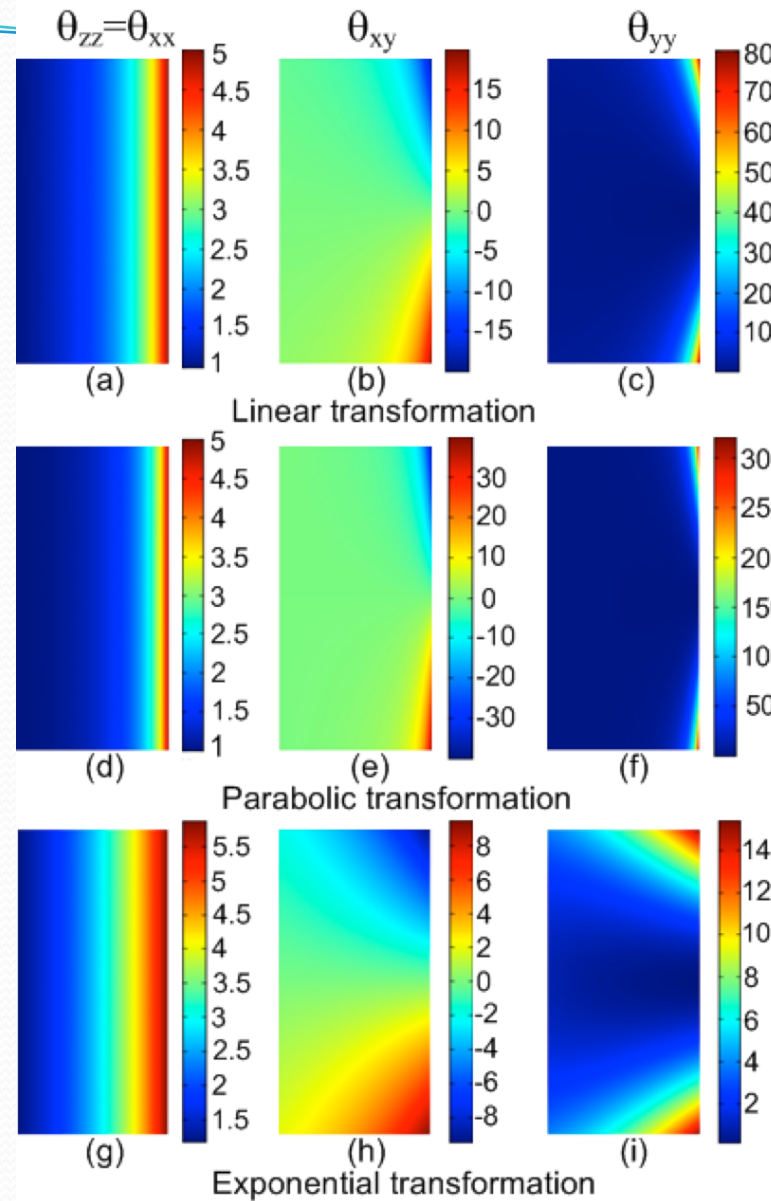
$$\bar{\theta} = \begin{pmatrix} \theta_{xx}(x') & \theta_{xy}(x', y') & 0 \\ \theta_{xy}(x', y') & \theta_{yy}(x', y') & 0 \\ 0 & 0 & \theta_{zz}(x') \end{pmatrix}$$

$$\begin{cases} x' = x \\ y' = y \left(\frac{b}{a} \right)^{\frac{x}{l}} \\ z' = z \end{cases}$$

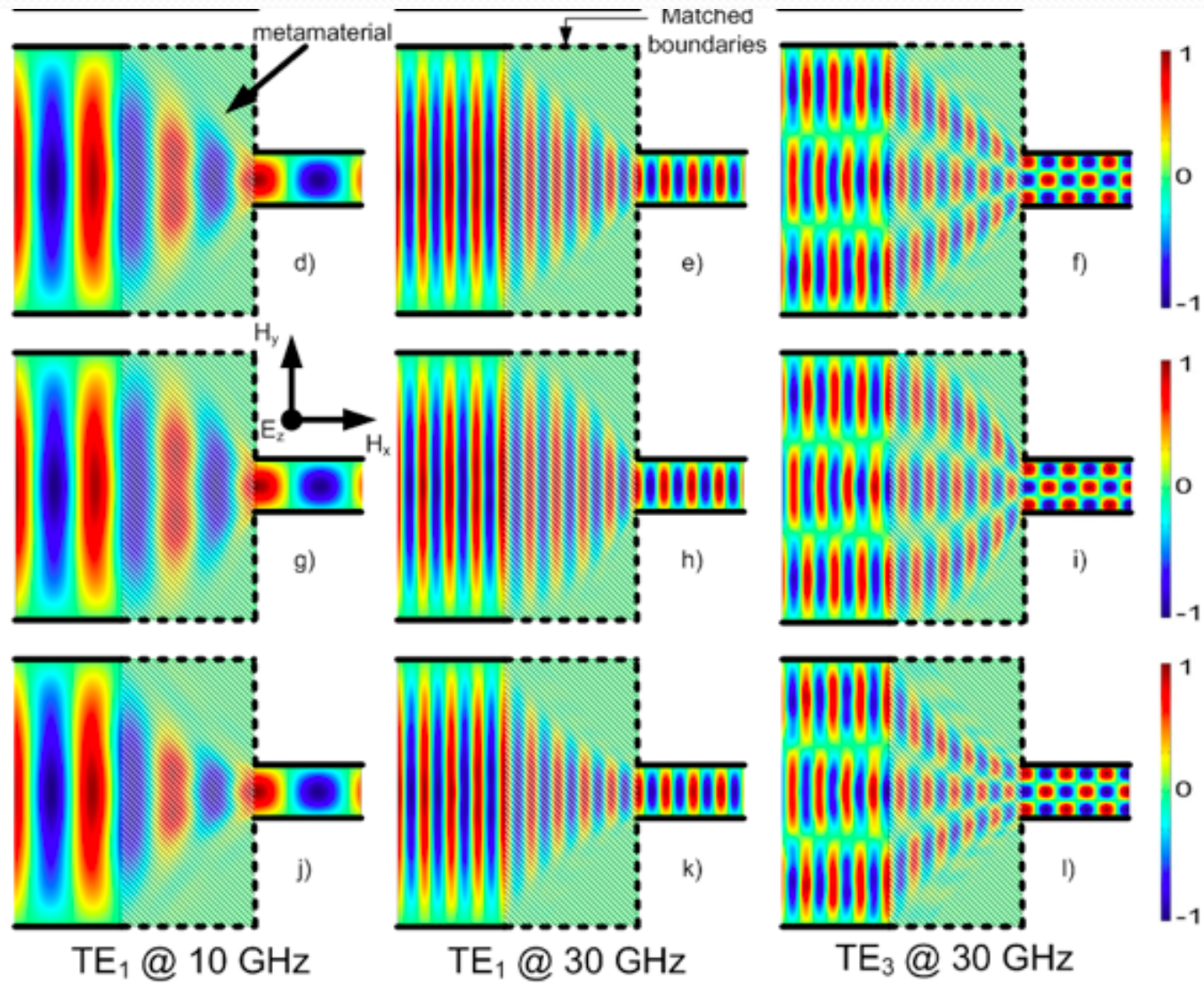
exponentiel



Résultats
et
comparaisons:
le profil
exponentiel
conduit aux
valeurs les plus
faibles.



Simulations (pour vérifier!)



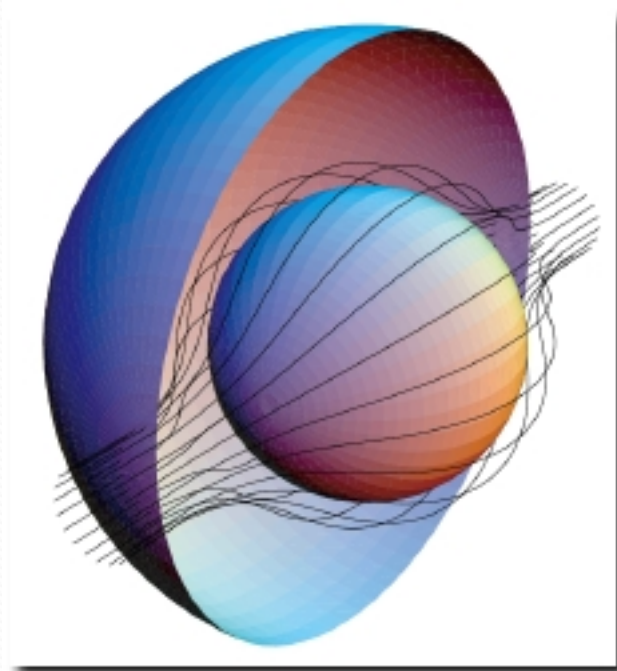


Et maintenant la réalisation!



1^{er} Exemple: Invisibilité.

Invisibilité?



- En 2006 U. Leonhard et J.B. Pendry propose le concept d'invisibilité basé sur le principe de l'effet mirage.
- Cette invisibilité est basée sur la déviation des rayons lumineux par un milieu d'indice variable.
- D.R. Smith réalise un premier prototype en micro-onde fonctionnant à 8,5GHz.

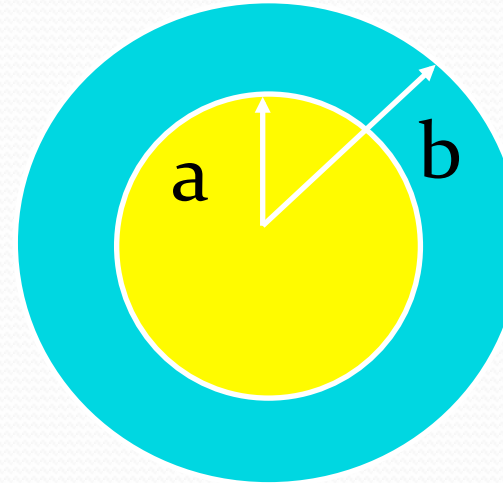
Invisibilité: le modèle...

$$r' = \frac{b-a}{b}r + a \quad \theta' = \theta \quad z' = z \quad (1)$$

$$\epsilon_r = \mu_r = \frac{r-a}{r} \quad \epsilon_\theta = \mu_\theta = \frac{r}{r-a} \quad (2)$$

$$\epsilon_z = \mu_z = \left(\frac{b}{b-a}\right)^2 \frac{r-a}{r}$$

$$\epsilon_z = \left(\frac{b}{b-a}\right)^2 \mu_r = \left(\frac{r-a}{r}\right)^2 \mu_\theta = 1 \quad (3)$$



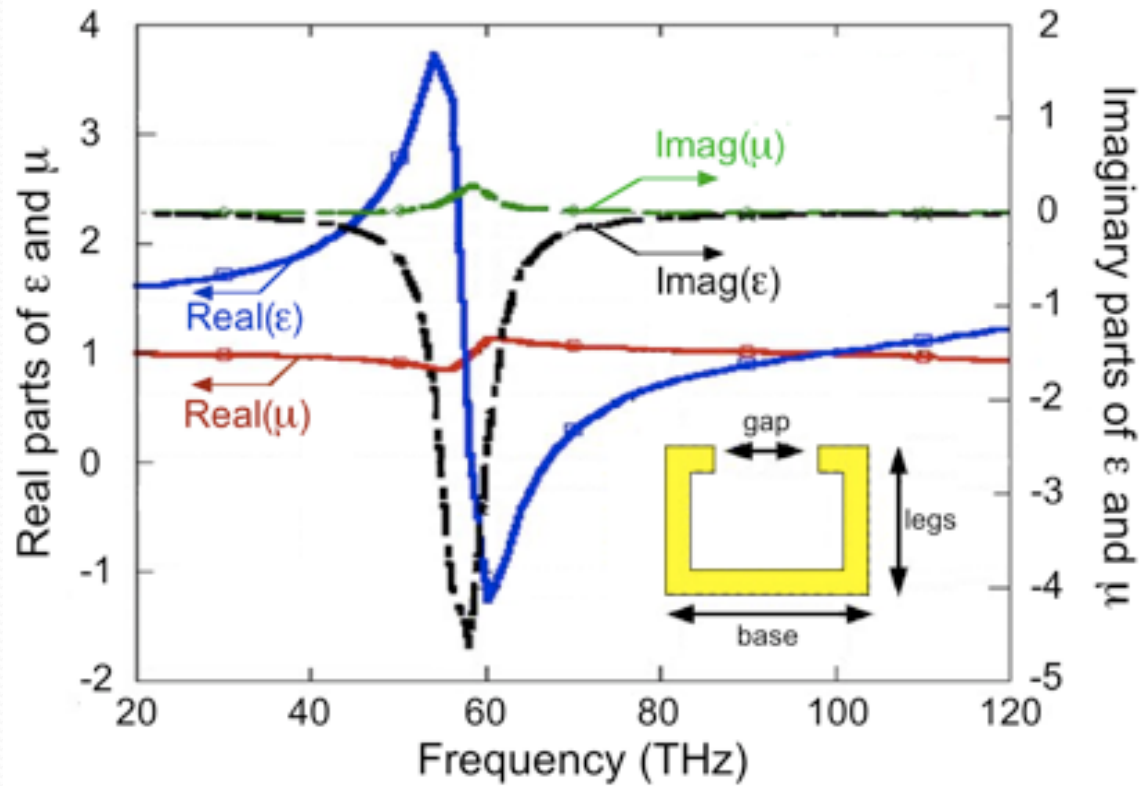
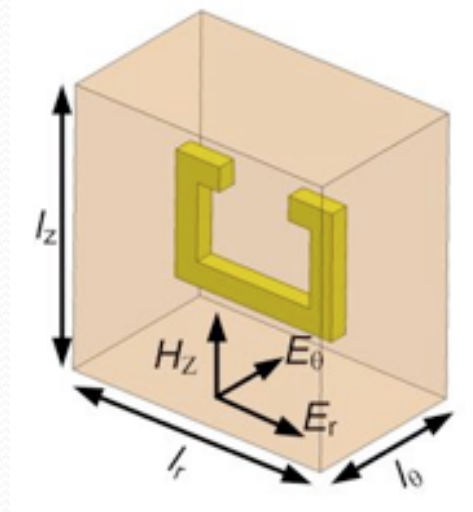
- La transformation est définie par (1). L'adaptation d'impédance est réalisée.
- Les paramètres du matériau par (2).
- Le modèle réduit est défini par (3). L'adaptation d'impédance n'est plus conservée.



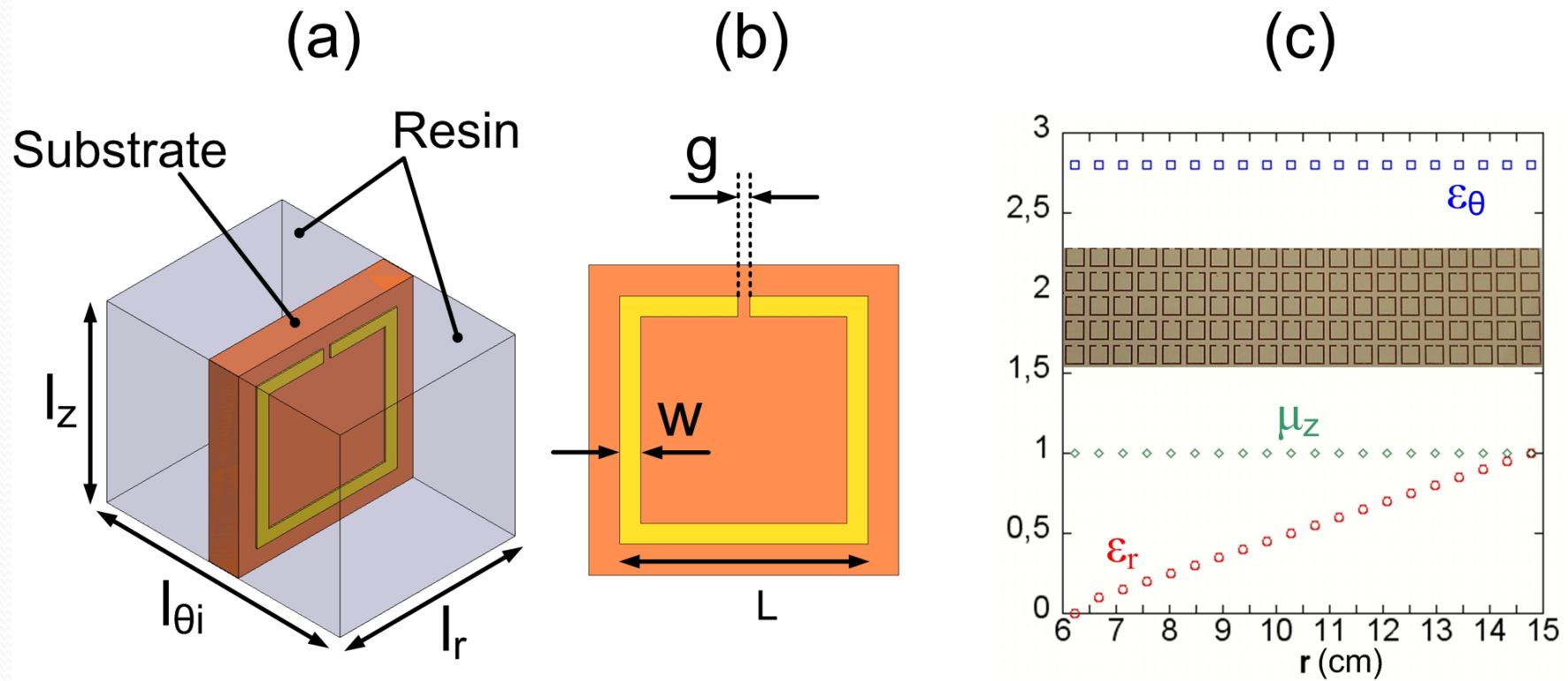
IEF cloak:

Material: Pendry's SRR electrical resonance

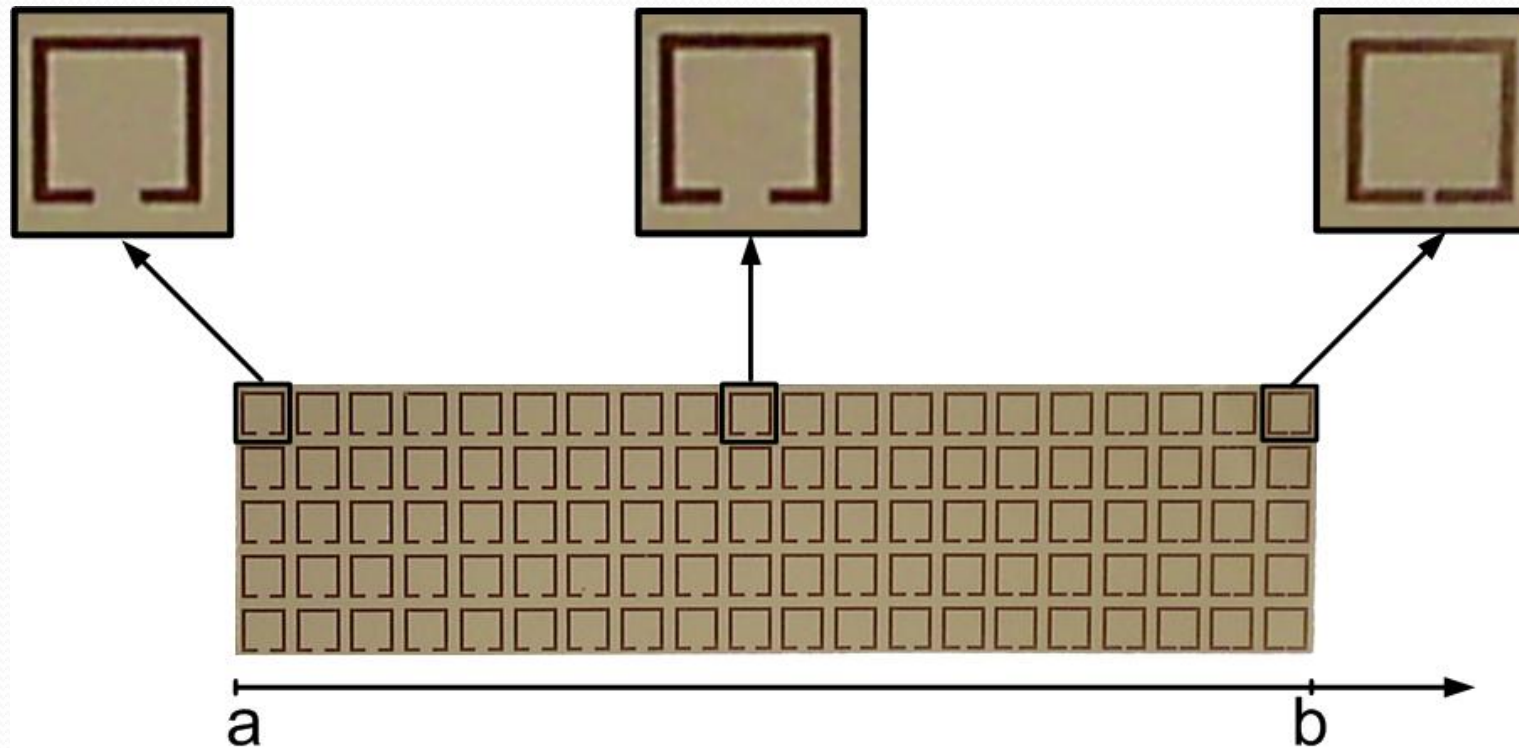
$$\mu_z = 1, \quad \varepsilon_\theta = \left(\frac{b}{b-a}\right)^2, \quad \varepsilon_r = \left(\frac{b}{b-a}\right)^2 \left(\frac{r-a}{r}\right)^2$$



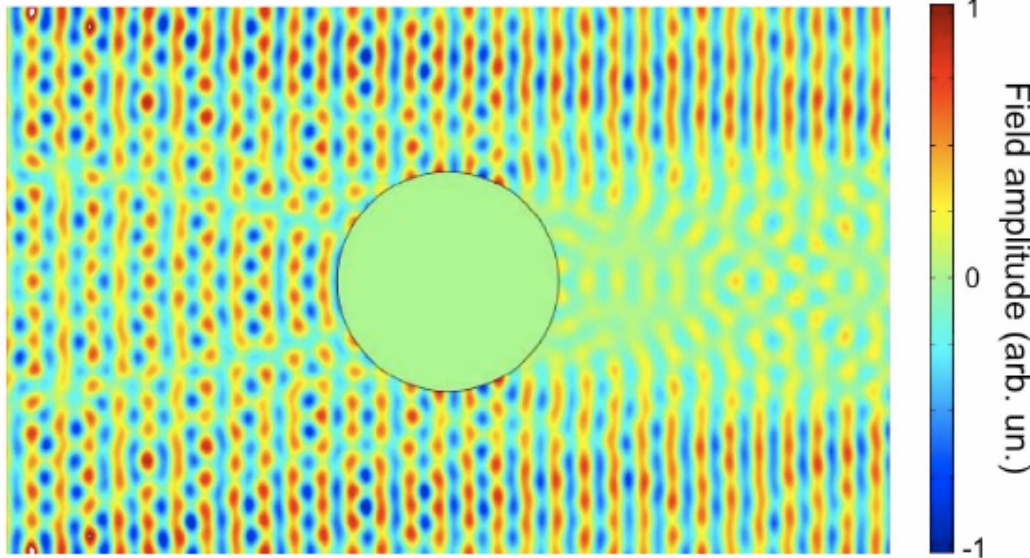
Démonstration expérimentale d'une cape d'invisibilité non-magnétique



Démonstration expérimentale d'une cape d'invisibilité non-magnétique

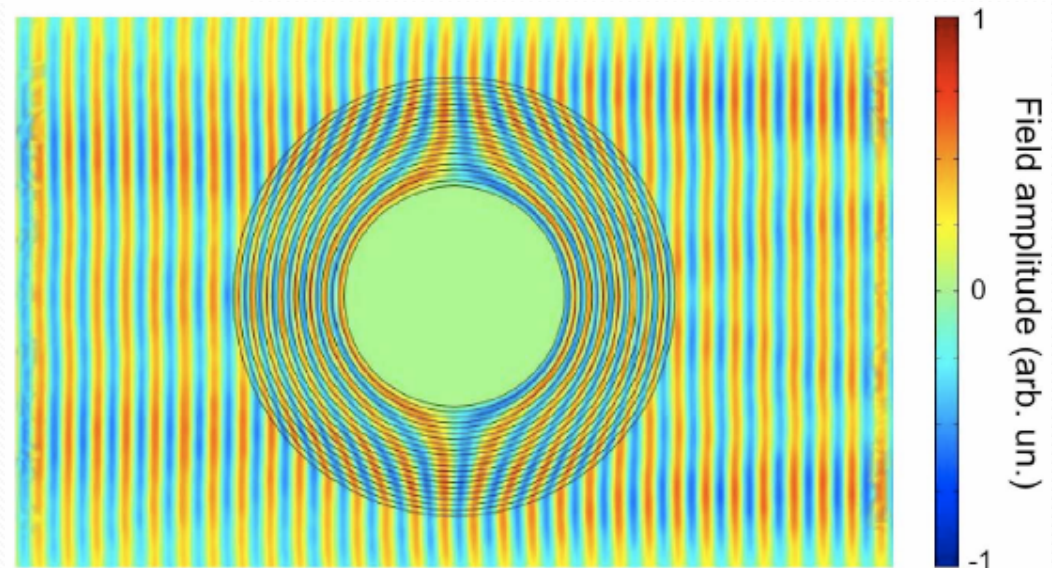


Conception simplifiée avec la coupure de l'anneau comme seul paramètre variable!



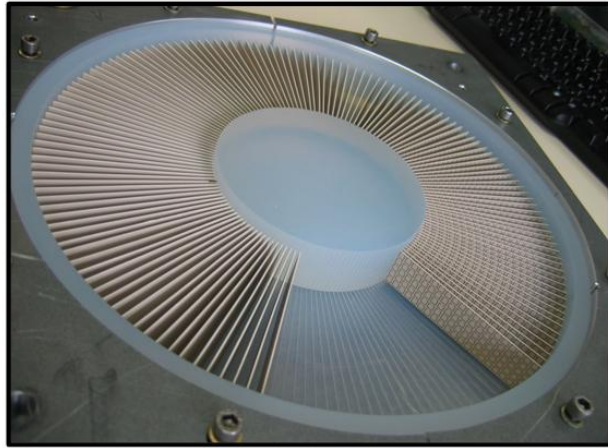
- Metallic cylinder without cloak.

✦ Metallic cylinder with cloak.



Réalisation et caractérisation

(a)

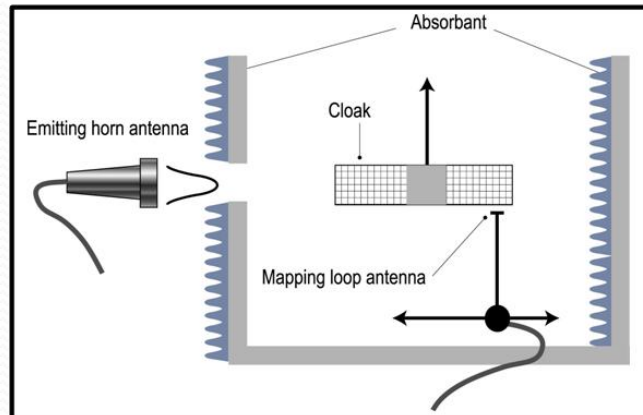


(b)

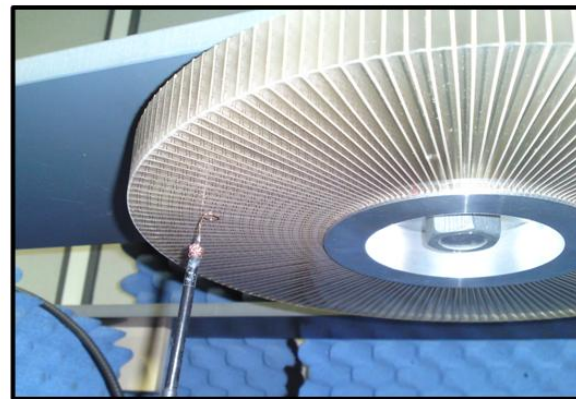


~32000 résonateurs

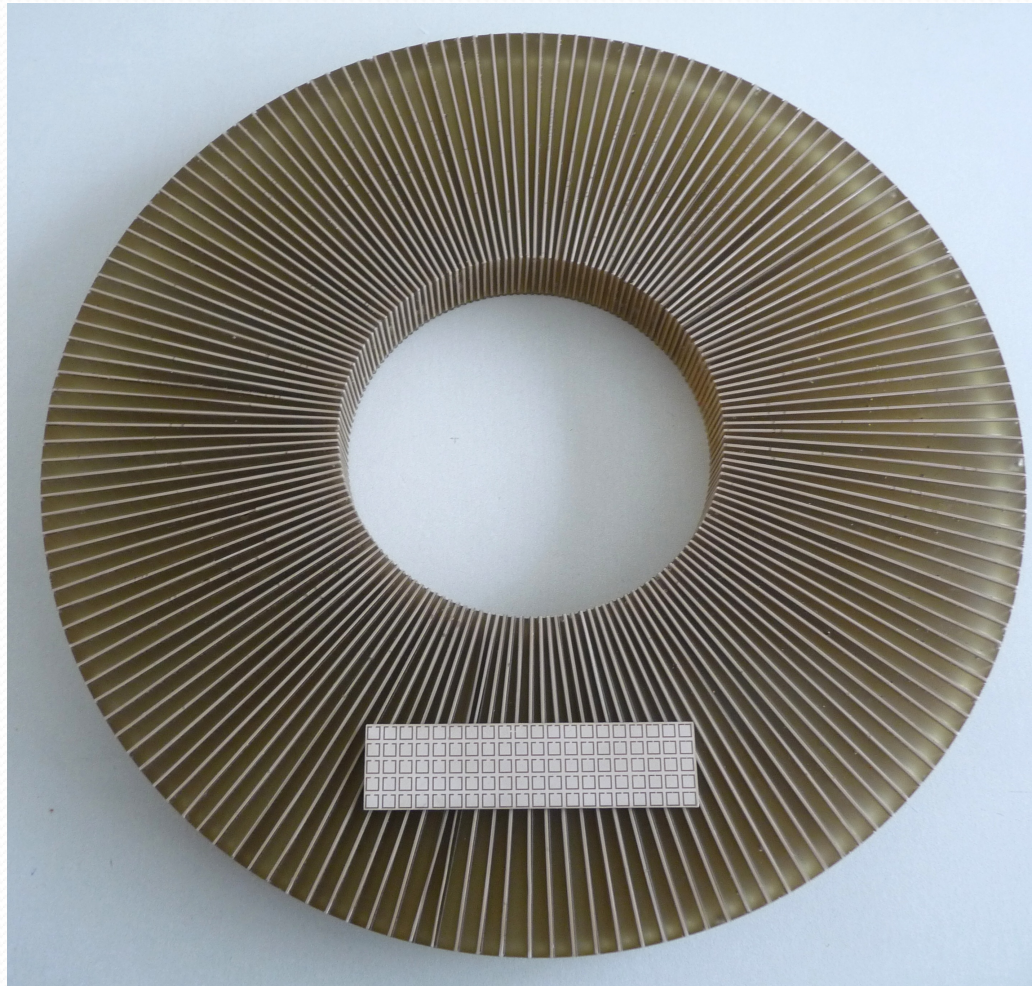
(c)



(d)



Realization...

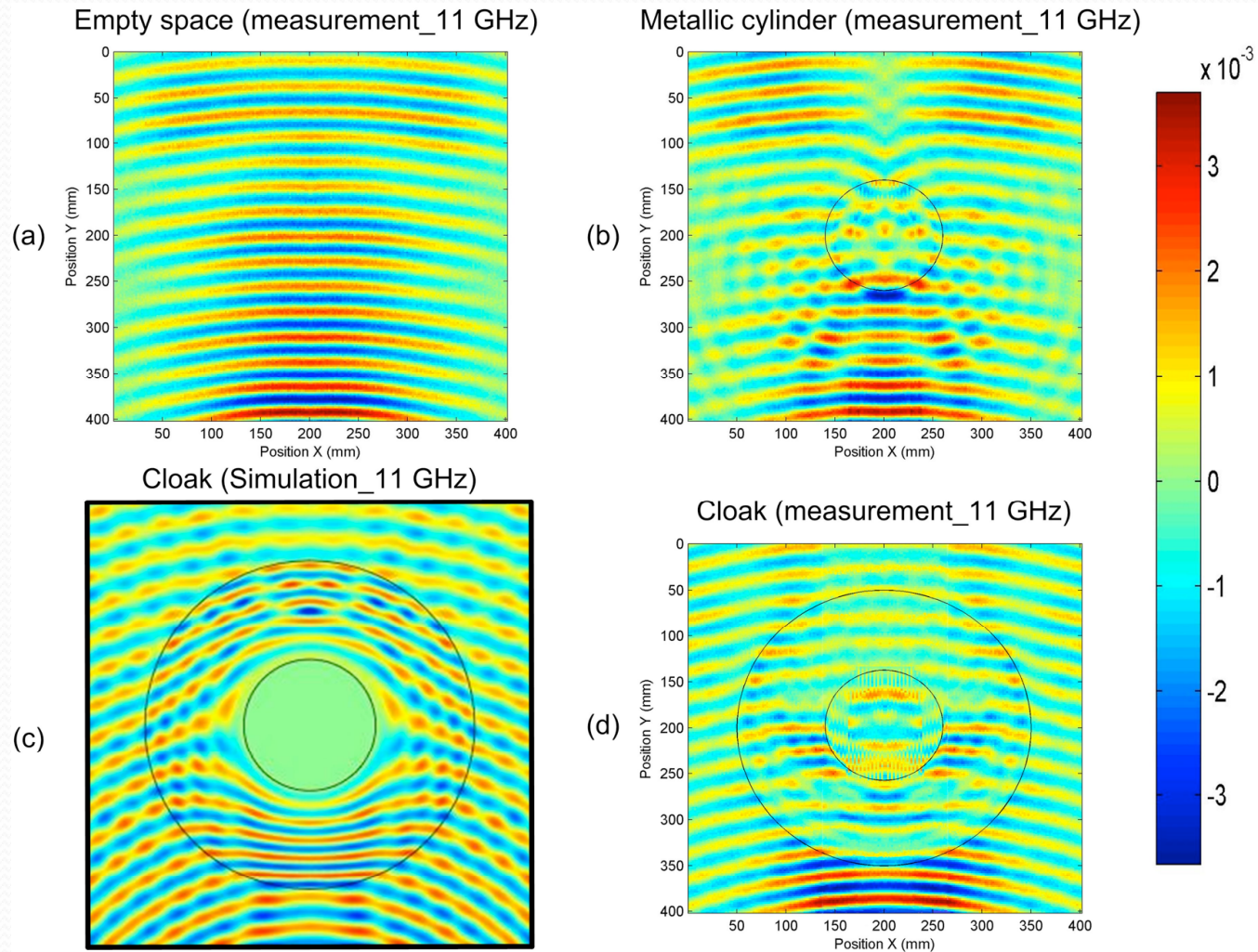


	Kante <i>et al.</i> 11 GHz	Schurig <i>et al.</i> 8.5 GHz
a	6 cm $2a \sim 4.4\lambda_0$	2.71 cm $2a \sim 1.5\lambda_0$
b	15 cm	5.89 cm

- Working frequency 11GHz.



Measurements.

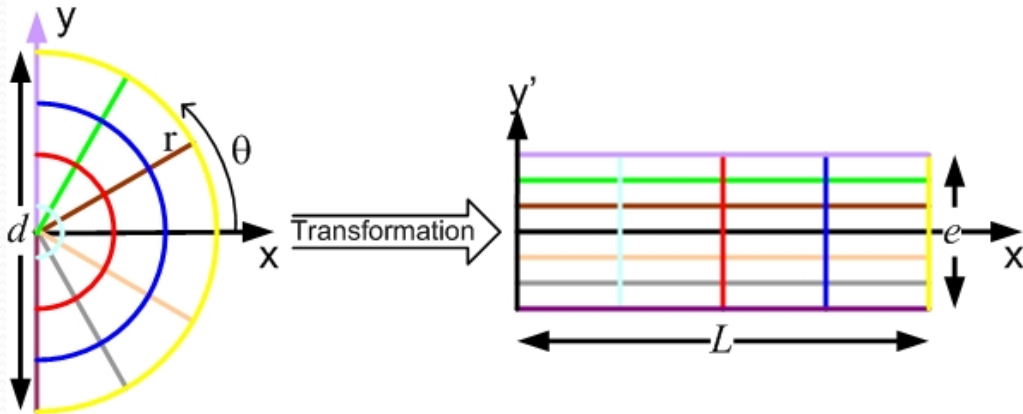




2^{ème} exemple: Antenne directive.



Coordinate transformation and directive antenna (IEF).



$$\begin{cases} x' = \frac{2L}{d} \sqrt{x^2 + y^2} \\ y' = \frac{e}{\pi} \arctan\left(\frac{y}{x}\right) \\ z' = z \end{cases}$$

$$\bar{\epsilon} = \begin{pmatrix} \epsilon_{xx}(x', y') & 0 & 0 \\ 0 & \epsilon_{yy}(x', y') & 0 \\ 0 & 0 & \epsilon_{zz}(x', y') \end{pmatrix} \epsilon_0$$

$$\bar{\mu} = \begin{pmatrix} \mu_{xx}(x', y') & 0 & 0 \\ 0 & \mu_{yy}(x', y') & 0 \\ 0 & 0 & \mu_{zz}(x', y') \end{pmatrix} \mu_0$$

$$\epsilon_{xx}(x', y') = \mu_{xx}(x', y') = \frac{\pi}{e} x'$$

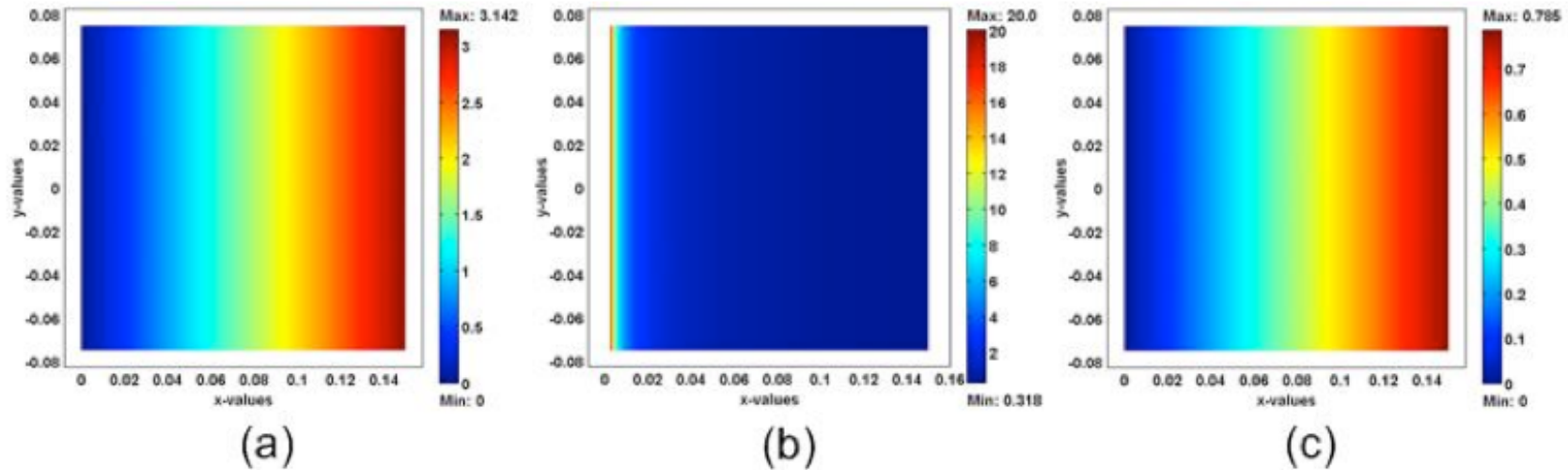
$$\epsilon_{yy}(x', y') = \mu_{yy}(x', y') = \frac{1}{\epsilon_{xx}(x', y')}$$

$$\epsilon_{zz} = \mu_{zz} = \frac{d^2 \pi}{4eL^2} x'$$

- Transformation of an isotropic antenna to a directive one.



Calculated permittivities and permeabilities.



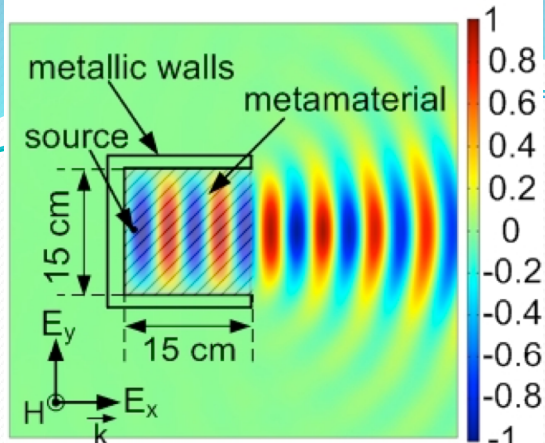
$$\boldsymbol{\varepsilon} = \begin{pmatrix} \varepsilon_{xx}(x',y') & 0 & 0 \\ 0 & \varepsilon_{yy}(x',y') & 0 \\ 0 & 0 & \varepsilon_{zz}(x',y') \end{pmatrix} \boldsymbol{\varepsilon}_0$$

Variation of the permittivity tensor components: (a) ε_{xx} , (b) ε_{yy} , and (c) ε_{zz} .

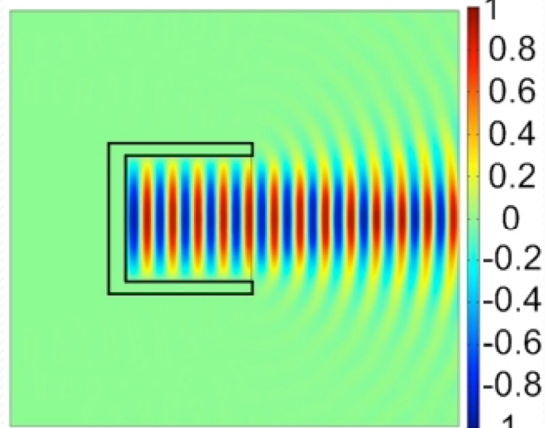


2D Simulations...

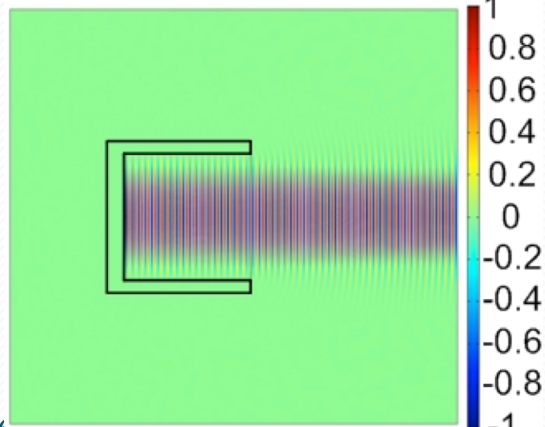
Calculated E field at 5, 10 and 40GHz.



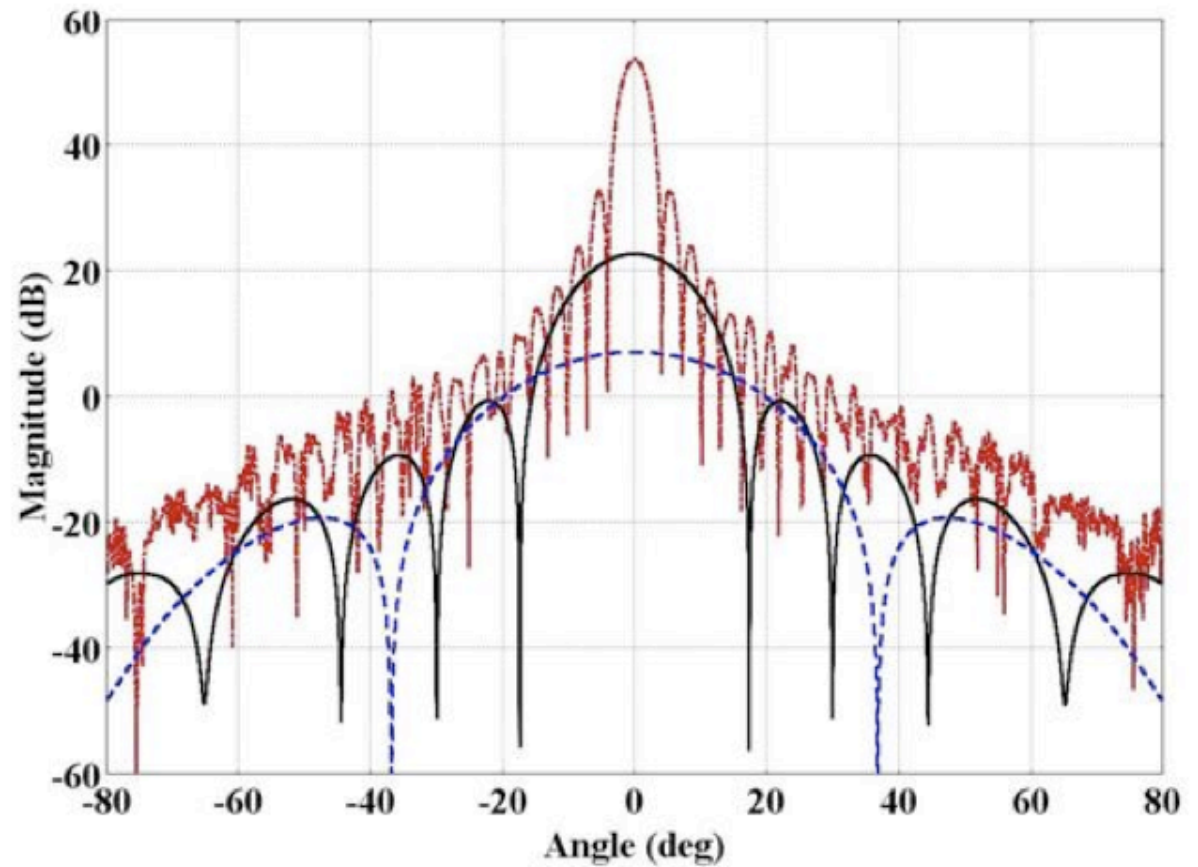
(a)



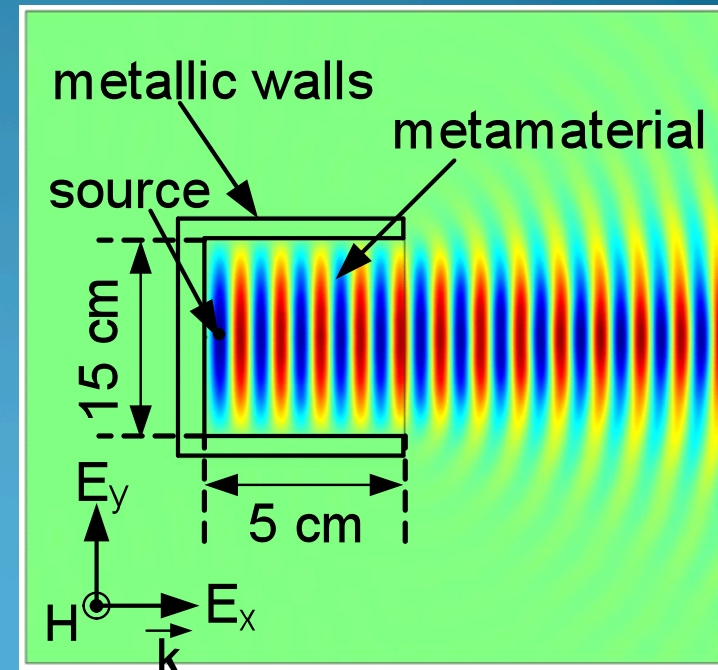
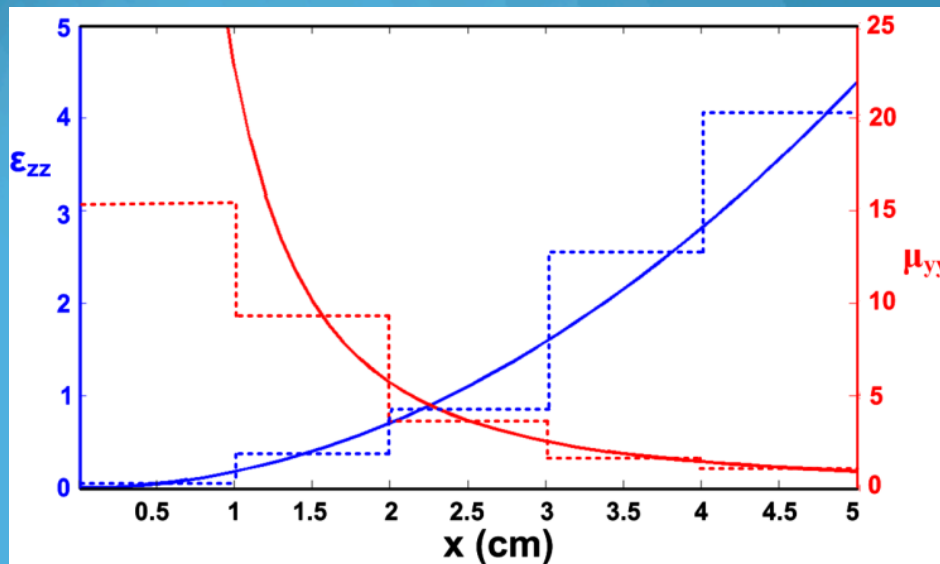
(b)



(c)

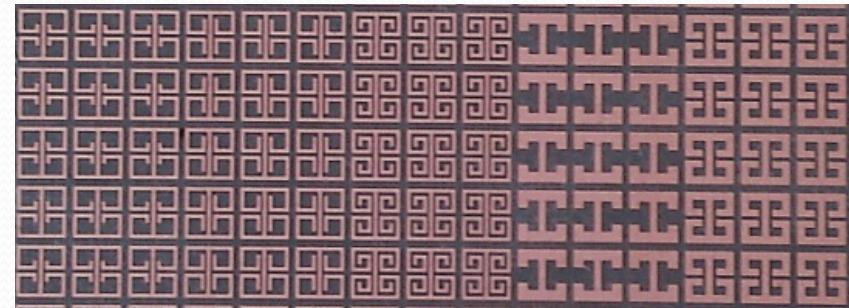
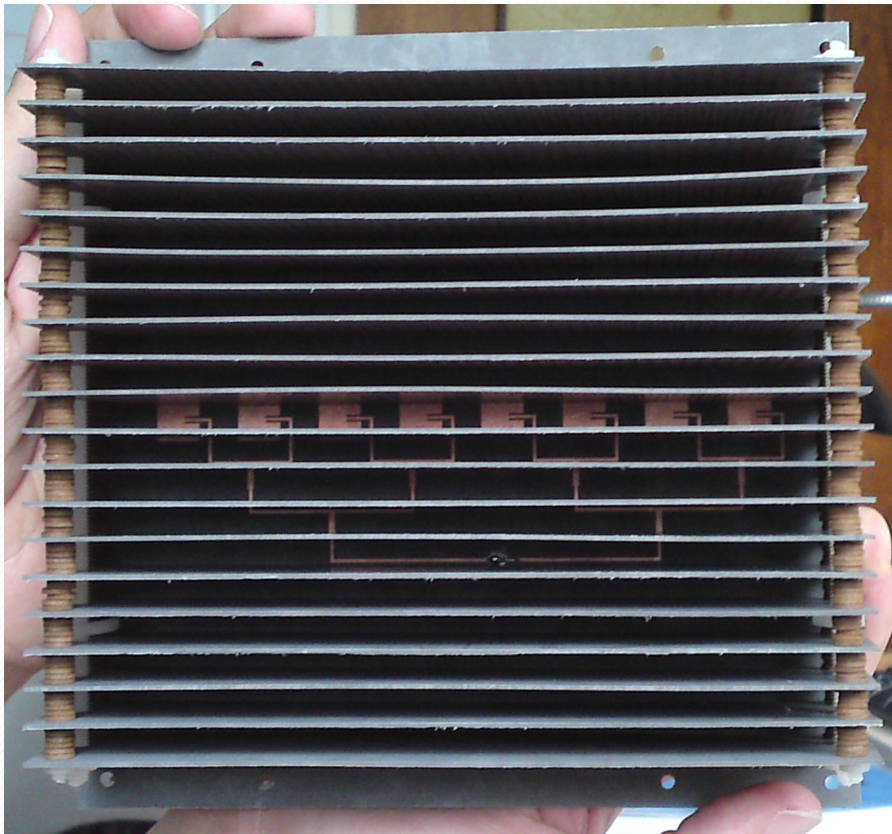


Discretisation and Simulations.

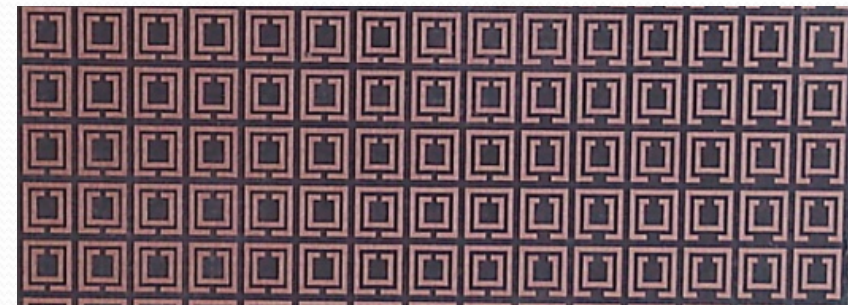


Ici on fait varier simultanément la permittivité et la perméabilité. (dans la cape seule la permittivité variait!)

Realization.

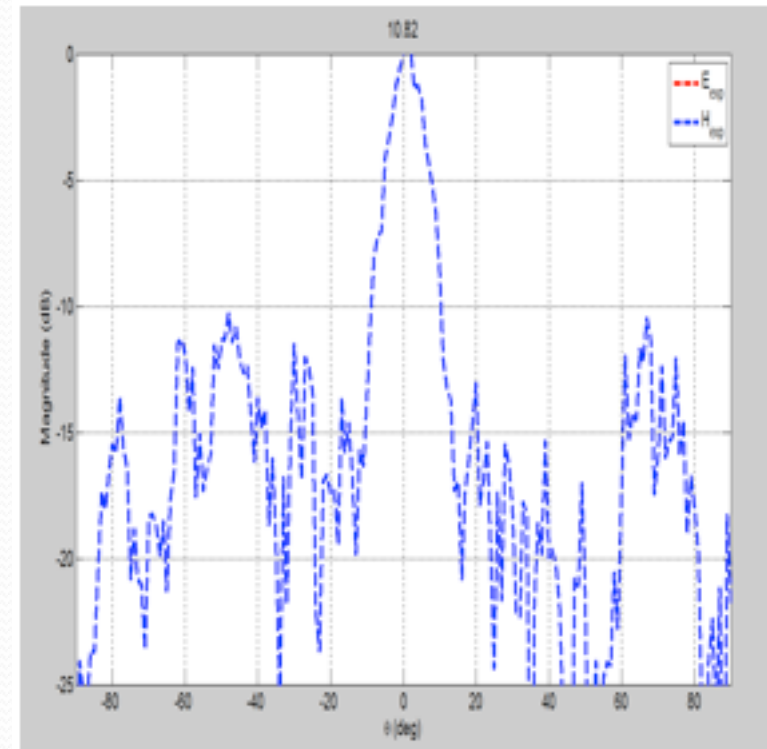
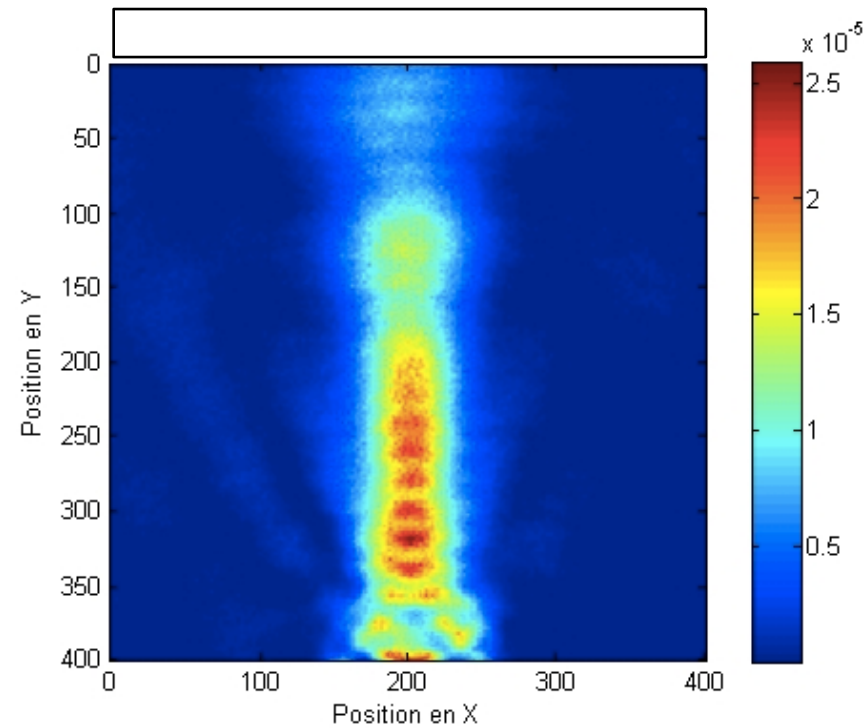


Electrical resonators



Magnetical resonators

Measurements.

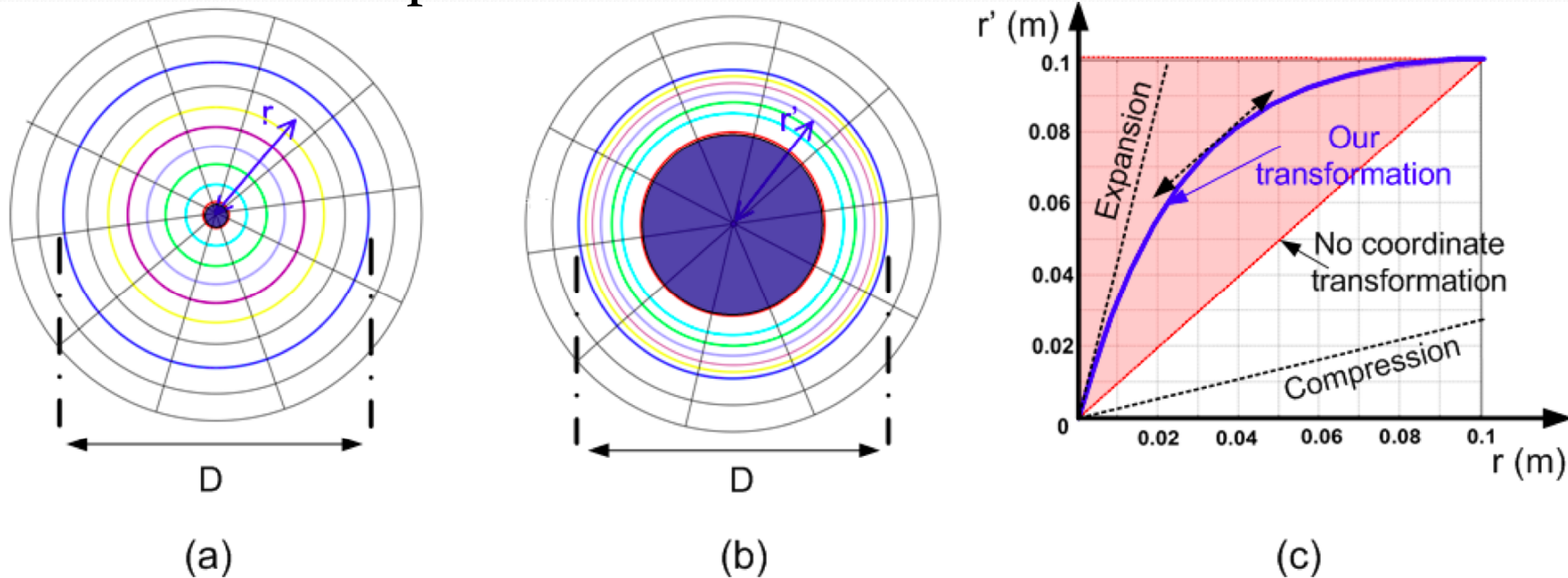




3^{ème} exemple: modification de la taille
apparente d'une structure rayonnante.

Principe de la transformation

- On veut transformer une source étendue directive en source isotrope.



- Expansion + compression de la région centrale autour de l'antenne.



Principe: la transformation est de nouveau exponentielle.

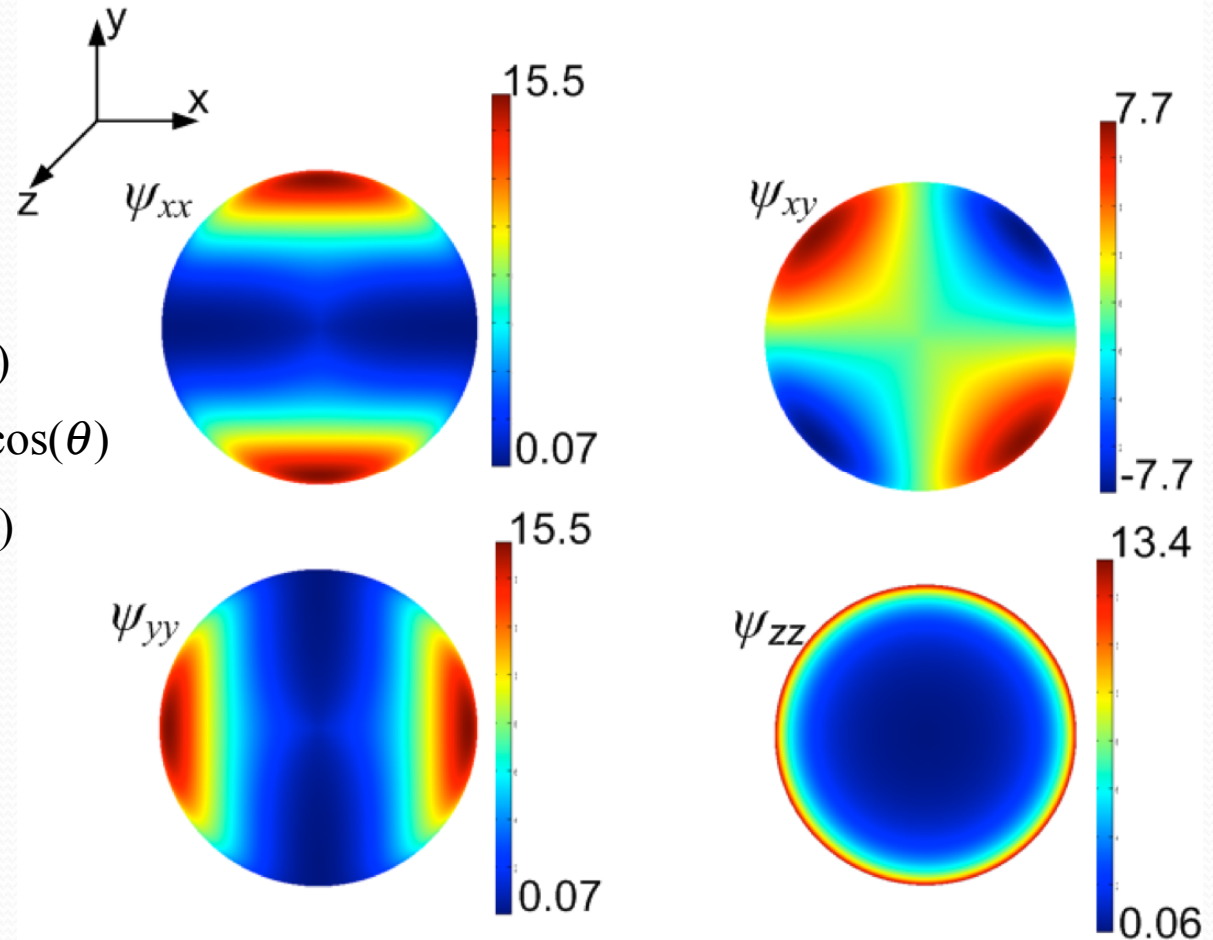
$$\begin{cases} r' = \frac{D}{2} \frac{1 - e^{qr}}{1 - e^{\frac{qD}{2}}} \\ \theta' = \theta \\ z' = z \end{cases} = \begin{cases} r' = \alpha(1 - e^{qr}) \\ \theta' = \theta \\ z' = z \end{cases} \quad \text{with} \quad \alpha = \frac{D}{2} \frac{1}{1 - e^{\frac{qD}{2}}}$$

$$\bar{\psi} = \begin{pmatrix} \psi_{rr} & 0 & 0 \\ 0 & \psi_{\theta\theta} & 0 \\ 0 & 0 & \psi_{zz} \end{pmatrix} = \begin{pmatrix} \frac{qr(r' - \alpha)}{r'} & 0 & 0 \\ 0 & \frac{r'}{qr(r' - \alpha)} & 0 \\ 0 & 0 & \frac{r}{r'q(r' - \alpha)} \end{pmatrix}$$

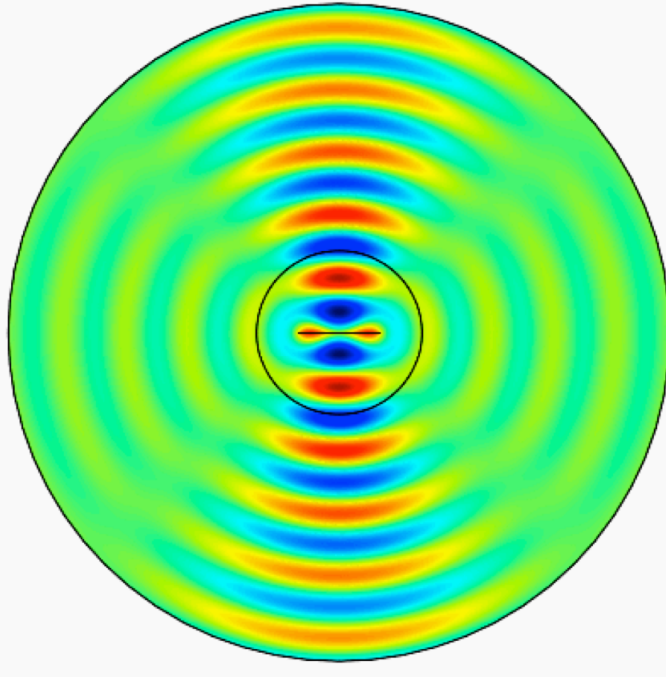


Paramètres électromagnétiques

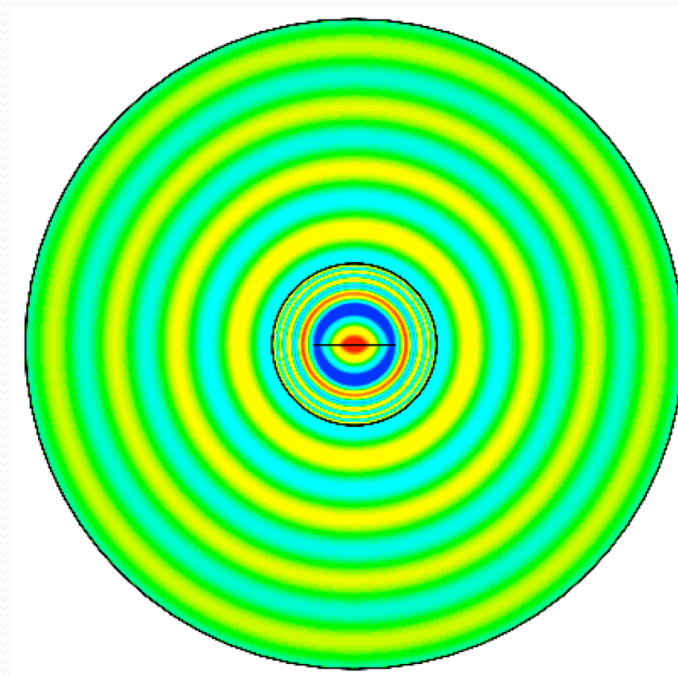
$$\begin{cases} \psi_{xx} = \psi_{rr} \cos^2(\theta) + \psi_{\theta\theta} \sin^2(\theta) \\ \psi_{xy} = \psi_{yx} = (\psi_{rr} - \psi_{\theta\theta}) \sin(\theta) \cos(\theta) \\ \psi_{yy} = \psi_{rr} \sin^2(\theta) + \psi_{\theta\theta} \cos^2(\theta) \end{cases}$$



Simulation



Antenne directive
sans matériau



Antenne isotrope
avec matériau

Conclusion: l'antenne a changé de taille apparente!



Conclusions

- La transformation d'espace permet de réaliser de nouveaux dispositifs micro-ondes.
- Elle nécessite l'utilisation de métamatériaux.
- Dans chaque cas la source est adaptée en impédance au matériau.
- Elle permet de modifier la taille apparente d'un objet.



Perspectives

- Challenges actuels:
 - Structures large bande?
 - Structures actives?
 - Transposition en optique?

- Perspectives: quelques exemples
 - Antennes miniatures?
 - Nouveaux composants optiques?
 - Invisibilité temporelle?
 -



Merci de votre attention!